

Фиг. 6

Коэффициент эжекции K с ростом θ от 0 до 2π растет от величины

$$K_{\min} = \frac{\eta}{\eta_*} \lim_{\theta \rightarrow 0} \frac{\Phi(\theta)}{\Phi(0)} = \frac{\eta}{\eta_*} \lim_{\theta \rightarrow 0} \left[\frac{\chi(\theta)}{\chi(0)} \right]^{1/s} = \left(\frac{\eta_*}{\eta} \right)^{1/s}$$

до величины

$$K_{\max} = \frac{\eta}{\eta_*} \lim_{\theta \rightarrow 2\pi} \frac{\Phi(\theta)}{\Phi(0)} = \frac{\eta}{\eta_*} \left[\frac{\chi(\theta)}{\chi(0)} \right]^{1/s} = 1$$

При $\alpha = 1$ $K = 1$, т. е. расходы высоконапорной и низконапорной жидкости одинаковы.

Поступило 3 V 1971

ЛИТЕРАТУРА

- Жуковский Н. Е. О гидравлическом ударе в водонапорных трубах. М.—Л., Госхтехиздат, 1949.
- Андронов А. А., Аронович Г. В. К теории гидравлического тарана. Инж. сб., т. 20, 1954, т. 20.
- Натализон М. С., Сухих В. А. Экспериментальные исследования вынужденных разрывных колебаний жидкости в трубопроводах. Изв. АН СССР, МЖГ, 1969, № 1.
- Цынкова О. Э. О вибрационном подъеме жидкости. Изв. АН СССР, Механика, 1965, № 2.

УДК 533.6.013.122

К РАСЧЕТУ СРЫВНОГО НЕСТАЦИОНАРНОГО ОБТЕКАНИЯ ТОНКОГО ПРОФИЛЯ

С. М. БЕЛОЦЕРКОВСКИЙ, М. И. НИШТ

(Москва)

В настоящее время проявляется интерес к моделированию и расчету срывающих течений. Методы, основанные на схеме идеальной среды, содержат определенные возможности, границы которых могут быть уточнены в процессе численных экспериментов на современных ЦВМ. Попытки в этом направлении делались, например, в работах [1-3].

В работе [4] показана возможность расчета сворачивания свободных вихрей за крылом в концевые жгуты в рамках стационарной нелинейной теории. Методы, разработанные для нелинейных стационарных задач [4] и линейных нестационарных задач [5], позволяют перейти к решению общей нестационарной нелинейной задачи о крыле.

В данной работе излагается численный метод расчета неуставновившегося обтекания тонкого профиля несжимаемым потоком при наличии срыва с передней и задней кромок. Зависимость граничных условий от координат и времени может быть произвольной, а угол атаки профиля — большим. Идея метода состоит в переходе от непрерывных распределений и процессов к дискретным. Во-первых, заменяющий крыло и его след вихревой слой в расчетах моделируется системой дискретных вихрей, представляющих собой прямолинейные бесконечные нити с постоянной по дли-

не циркуляцией. Во-вторых, непрерывный процесс изменения по времени граничных условий на профиле заменяется ступенчатым: в определенные (расчетные) моменты времени эти условия изменяются скачком, а в промежутке между расчетными моментами остаются неизменными.

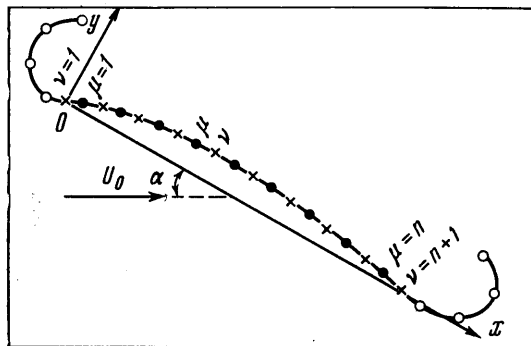
Предлагаемый метод позволяет рассчитывать весь переходный процесс. Он сравнительно легко обобщается на пространственный случай нестационарного обтекания тонкого крыла произвольной формы в плане.

1. Метод расчета. Рассмотрим тонкое крыло бесконечного размаха, движущееся в идеальной несжимаемой среде со средней поступательной скоростью U_0 под углом атаки α (фиг. 1). Введем жестко связанную с крылом систему координат xy , при

этом начало координат O совместим с передней кромкой крыла, ось x направим назад вдоль его хорды, а ось y — вверх, перпендикулярно плоскости крыла.

Пусть в некоторый момент времени $t = 0$ граничные условия на крыле начинают изменяться по произвольному закону

$$\frac{W_n}{U_0} = f(\xi_0, \eta_0, \tau), \quad \xi_0 = \frac{x_0}{b}, \\ \eta_0 = \frac{y_0}{b}, \quad \tau = \frac{U_0 t}{b} \quad (1.1)$$



Фиг. 1

Изменение граничных условий по времени приводит к изменению циркуляций присоединенных вихрей, заменяющих крыло, что будет сопровождаться сходом свободных вихрей. Не приводя всех уравнений и условий рассматриваемой задачи, которые подробно описаны в работах [4, 5], отметим лишь особенности этих уравнений и условий для случая срывающего нестационарного обтекания крыла.

В качестве дополнительного условия при решении задачи, как обычно, используется гипотеза Чаплыгина — Жуковского о сходе свободных вихрей с острой задней кромкой крыла. При этом, вообще говоря, на передней кромке будут возникать бесконечные скорости, что физически невозможно. В связи с этим потребуем выполнения указанного постулата и на передней кромке крыла. Тогда свободные вихри будут сходить как с задней, так и с передней острых кромок, и скорости здесь будут конечны. Указанную схему можно рассматривать как простейшую модель срывающего обтекания тонкого крыла в идеальной среде.

Дискретные вихри на крыле и контрольные точки, в которых удовлетворяются граничные условия о непротекании крыла, выбираются следующим образом (фиг. 1). Тонкий профиль делится на n равных частей. Присоединенные вихри располагаются на линиях μ ($1 \leq \mu \leq n$) на расстоянии $1/2$ длины каждого участка от его начала, а контрольные точки — на линиях v ($1 \leq v \leq n + 1$) — на конце каждого участка. В результате такого разбиения контрольные точки находятся посередине между соседними вихрями, а первая и последняя контрольные точки — на кромках крыла. При увеличении числа вихрей n соответствующие суммы, дающие выражения для скоростей, перейдут в сингулярные интегралы, у которых берется их главное значение по Коши. То обстоятельство, что расчетные точки на корме и носке лежат за последними вихрями крыла, автоматически обеспечивает выполнение постулата Чаплыгина — Жуковского. Свободные вихри стелются вначале по поверхности крыла, сходят с кромок, а дальше движутся по линиям тока относительного движения.

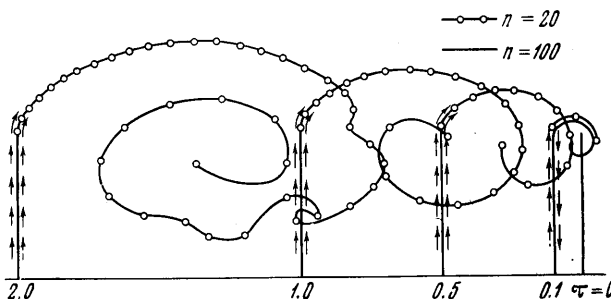
В нелинейной теории крыла бесконечного размаха в качестве основного вихревого элемента естественно рассматривать бесконечно длинный прямолинейный вихревой шнур постоянной по длине циркуляции.

Составляющие относительной скорости в любой точке на крыле и вне его равны сумме соответствующих компонент скорости невозмущенного потока и возмущенной скорости, вызванной крылом и его вихревым следом. Если задан закон движения крыла, то нетрудно найти составляющие скорости невозмущенного потока. Составляющие возмущенной скорости равны сумме составляющих скоростей, индуцируемых в данной точке присоединенными и свободными вихрями. Эти скорости легко вычисляются, если известны циркуляции вихрей на крыле и вне его.

В рассматриваемый момент времени на крыле находятся как присоединенные, так и свободные вихри, а вне крыла образуются две пелены свободных вихрей — носовая и кормовая. Поэтому при вычислении циркуляций в каждый момент времени поперечными вихрями заменяется на крыле суммарный вихревой слой, включающий в себя и присоединенные и свободные вихри, а вне крыла — носовая и кормовая пелена свободных вихрей.

Следуя работе [5], непрерывный процесс изменения кинематических параметров движения крыла и циркуляций по времени заменим дискретным. Безразмерное время, протекающее между последовательными (расчетными) моментами изменения параметров, т. е. расчетный шаг, выберем равным $\Delta t = n^{-1}$.

В качестве расчетных примем моменты, которые непосредственно предшествуют скачкообразному изменению параметров. В моменты, следующие непосредственно за расчетными, скачком изменяются циркуляции на крыле и от присоединенных



Фиг. 2

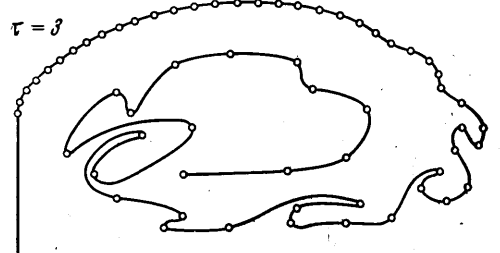
вихрей отделяются параллельные им свободные вихри. В промежутке между расчетными моментами кинематические параметры и циркуляции не меняются, а свободные вихри движутся по линиям тока относительного движения с постоянной скоростью, равной скорости относительного движения в той точке, где они находились в начале расчетного интервала времени. Циркуляция образовавшихся свободных вихрей во все последующие моменты времени сохраняется неизменной.

В каждый расчетный момент времени необходимо найти суммарные циркуляции вихрей на крыле, циркуляции свободных вихрей, образовавшихся в отрезок времени, предшествовавший расчетному моменту и только что сошедших с носка и кормы крыла, а также положение всех свободных вихрей вне крыла (циркуляции этих вихрей, как уже указывалось выше, со временем не меняются).

Указанное на фиг. 1 расположение дискретных вихрей и расчетных точек позволяет в любой расчетный момент времени определить все неизвестные циркуляции. Для этого из граничных условий в $(n+1)$ -й контрольной точке и условия о постоянстве циркуляции получается система из $n+2$ линейных алгебраических уравнений.

Для определения положения сошедших с крыла свободных вихрей в каждый расчетный момент времени используется условие движения вихрей, сформулированное выше. При этом криволинейные траектории движения свободных вихрей вне крыла заменяются системой прямолинейных отрезков. Расчет положения свободных вихрей проводится последовательно и начинается с ближайших к крылу точек, в которых расположены вихри.

В результате решения системы уравнений в каждый расчетный момент находятся суммарные циркуляции присоединенных и свободных вихрей на крыле. Для расчета аэродинамических нагрузок по теореме Жуковского «в малом» из суммарных циркуляций необходимо выделить циркуляции присоединенных вихрей [5]. Однако можно воспользоваться непосредственно интегралом Коши — Лагранжа. Для нахождения аэродинамической нагрузки в данной точке крыла интеграл Коши — Лагранжа применяется к верхней и нижней поверхностям крыла, при этом разность потенциалов скоростей на верхней и нижней поверхностях выражается через циркуляцию по соответствующему замкнутому контуру.

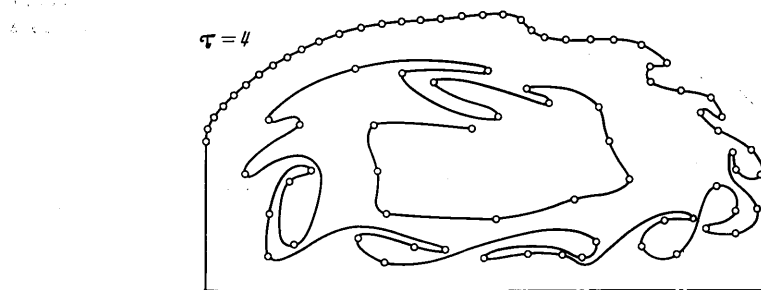


Фиг. 3

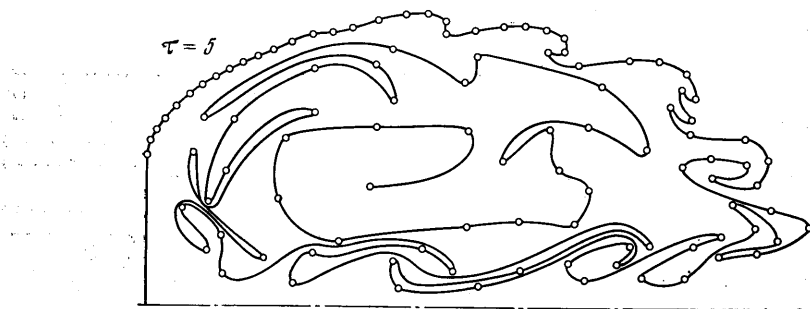
2. Пример. В качестве примера произведен расчет обтекания пластиинки под углом атаки $\alpha = 90^\circ$, когда она внезапно переходит от состояния покоя к движению с постоянной скоростью U_0 . Таким образом, скорость поступательного движения описывается зависимостью

$$U(\tau) = \begin{cases} 0, & \tau < 0 \\ U_0, & \tau \geq 0 \end{cases} \quad (2.1)$$

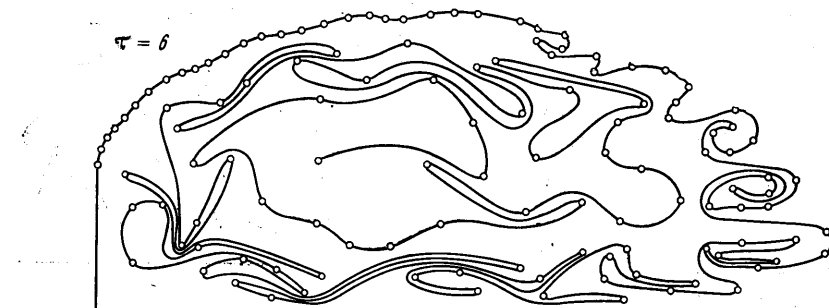
В расчетах пластина заменялась различным числом вихрей ($n = 10 \div 100$) как с методической целью, так и в зависимости от изучаемого этапа обтекания, кото-



Фиг. 4



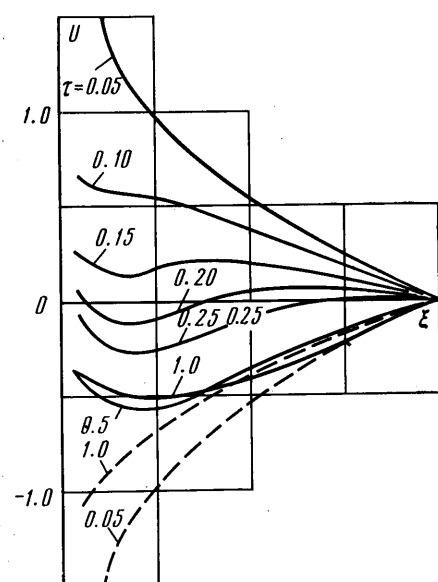
Фиг. 5



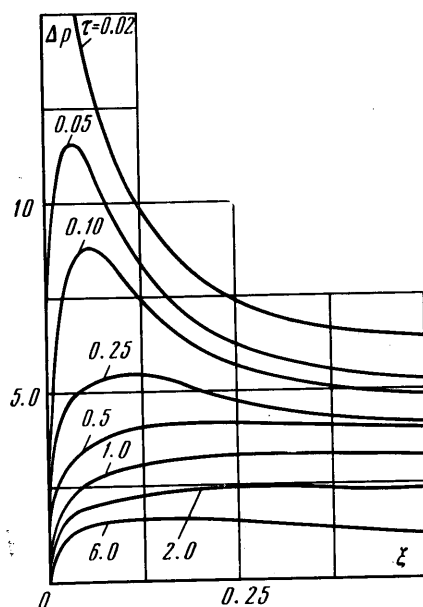
Фиг. 6

рый характеризуется безразмерным временем. Чтобы полнее проследить начальный этап обтекания, бралось $n = 100$. Однако по мере развития процесса обтекания в памяти машины накапливались данные о все большем числе вихрей за пластииной. Кроме того, увеличение n уже мало влияло на результаты. Поэтому при большом τ расчеты производились с $n = 10$ и 20.

Так как нижняя и верхняя части пластины обтекаются симметрично и эта симметрия практически не нарушалась в расчетах до больших τ ($\tau \leq 13$), то дальше приводятся данные только для одной половины пластины. На фиг. 2 показан на-



Фиг. 7



Фиг. 8

чальный момент движения, причем путь, пройденный пластины, соответствует указанным значениям безразмерного времени $\tau = 0, 0.1, 0.5, 1.0, 2.0$. На поверхности пластины стрелками указаны направления относительной скорости жидкости. Дальнейшее развитие процесса образования вихревого следа иллюстрируют фиг. 3—6. На фиг. 2—6 точками показано положение свободных вихрей в соответствующие моменты времени.

Интересно отметить образование петлеобразных форм на вихревой поверхности, начиная примерно с $\tau = 2$, которые свидетельствуют о неустойчивости вихревой пелены и разрушении ее. Они очень похожи на те, которые неоднократно наблюдались в экспериментальных исследованиях за плохообтекаемыми телами [1, 6].

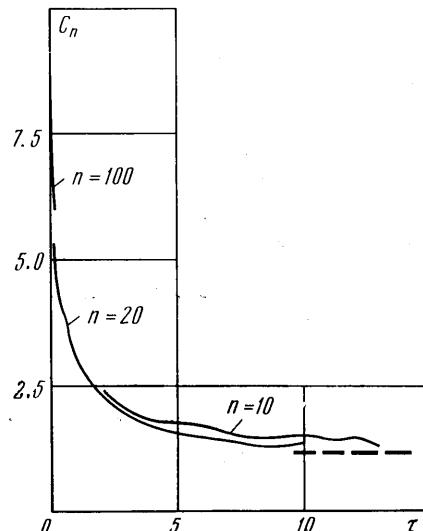
На фиг. 7 показано изменение безразмерной касательной скорости потока $v = W_x / U_0$ в различные моменты времени (сплошными линиями — на задней стороне пластины, штриховыми — на ее передней стороне). Как видно, на передней стороне пластины течение со временем изменяется незначительно, причем всегда поток направлен от центра пластины к кромкам. Иное дело на задней стороне. Под влиянием вихревой пелены с течением времени поток перестраивается: в начальный момент он направлен от кромок к центру пластины, но уже при $\tau > 0.25$ меняет направление на обратное.

На фиг. 8 изображено распределение по полухорде безразмерной разности $\Delta \rho$ давления на передней (p_+) и задней (p_-) сторонах пластины, отнесенной к скоростному напору набегающего потока.

В начале движения имеют место значительные пики нагрузки вблизи кромок. С течением времени они уменьшаются, а непосредственно на кромках нагрузка обращается в нуль.

На фиг. 9 показано изменение по времени коэффициента нормальной силы пластины:

$$C_n = N(1/2 \rho b U_0^2)^{-1} \quad (2.2)$$



Фиг. 9

Здесь N — нормальная сила, приходящаяся на единицу размаха пластины. Для сравнения там же (пунктирная линия) приведены результаты экспериментальных исследований прямоугольной пластины с удлинением $\lambda = 5.8$ при числах $Re = (2 \div 3) \cdot 10^5$ в аэродинамической трубе малых скоростей при стационарном обтекании [7].

Приведенный пример показывает, что для аккуратного построения картины течения при больших t на предельных режимах или близких к ним, нужен достаточно точный расчет всего переходного процесса.

Поступило 16 VII 1971

ЛИТЕРАТУРА

1. Wedemeyer E. Ausbildung eines Wirbelpaares an den Kanten einer Platte. Ingr—Arch., 1961, Bd 30, Nr 3.
2. Ham N. D. Aerodynamic loading on a two-dimensional airfoil during dynamic stall. AIAA Journal, 1968, No. 10.
3. Djojodihardjo R. H., Widnall S. E. A numerical method for the calculation of nonlinear unsteady lifting potential flow problems. AIAA Journal, 1969, No. 10.
4. Белоцерковский С. М. Расчет обтекания крыльев произвольной формы в плане в широком диапазоне углов атаки. Изв. АН СССР, МЖГ, 1968, № 4.
5. Белоцерковский С. М. Метод расчета воздействия порыва на произвольное тонкое крыло. Изв. АН СССР, МЖГ, 1966, № 1.
6. An introduction to fluid dynamics by G. K. Batchelor. Cambridge Univ. Press., 1967.
7. Горлин С. М., Худяков Г. Е. Влияние начальной турбулентности потока на аэродинамические характеристики плоской пластиинки. Ин-т механ. МГУ, Научн. тр., 1970, № 4.

УДК 533.6.011.5

РАСЧЕТ ПРОСТРАНСТВЕННЫХ ТЕЧЕНИЙ ИДЕАЛЬНОГО ГАЗА БЕЗ ПЛОСКОСТИ СИММЕТРИИ

Ю. М. ЛИПНИЦКИЙ, Ю. Я. МИХАИЛОВ, К. Г. САВИНОВ

(Москва)

Задача о стационарном пространственном обтекании сверхзвуковым потоком идеального газа головной части затупленного тела решена методом установления на основе разностной схемы [1, 2] в сочетании с тригонометрической аппроксимацией. Для гладких тел включение тригонометрической аппроксимации в разностную схему позволяет обеспечить достаточную точность без существенного увеличения количества узлов сетки.

1. Пусть u, v, w есть компоненты вектора скорости в сферической системе координат $\{r, \theta, \psi\}$, p, ρ — давление и плотность. Следуя [1, 2], запишем уравнения газовой динамики в виде системы условий совместности

$$\begin{aligned} A \frac{\partial X}{\partial t} + \Lambda A \frac{\partial X}{\partial \xi} &= F, \quad \xi = \frac{r - r_1(\theta, \psi)}{r_2(t, \theta, \psi) - r_1(\theta, \psi)} \\ X &= \begin{bmatrix} U \\ \varepsilon \\ V \\ W \\ \delta \end{bmatrix}, \quad A = \begin{bmatrix} B & 0 \\ 0 & E \end{bmatrix} \\ &B = \begin{bmatrix} \gamma c^{-1} - 1 \\ \gamma c^{-1} \end{bmatrix} \\ \varepsilon &= \ln p, \quad \delta = \varepsilon - \gamma \ln \rho \end{aligned} \tag{1.1}$$

Здесь $r = r_1(\theta, \psi)$ и $r = r_2(t, \theta, \psi)$ — уравнения поверхностей тела и ударной волны, E — единичная матрица, γ — отношение удельных теплоемкостей, c — скорость звука, $U = (u\xi_r + v\xi_\theta / r + w\xi_\psi / r \sin \theta) |N|^{-1}$ — проекция вектора скорости на нормаль к координатной поверхности $\xi = \text{const}$ ($N : [\xi_r; \xi_\theta / r; \xi_\psi / r \sin \theta]$), а V и W — проекции скорости на два линейно-независимых вектора, ортогональных N , Λ — диагональная матрица с элементами вида

$$\lambda(\zeta) = \xi_t + (U + \zeta c) |N| \quad (\zeta = -1, 1, 0) \tag{1.2}$$

а именно

$$\Lambda_{11} = \lambda(-1), \quad \Lambda_{22} = \lambda(1), \quad \Lambda_{33} = \Lambda_{44} = \Lambda_{55} = \lambda(0)$$

В состав вектора правых частей F помимо искомых функций и их производных по θ и ψ входят еще $\xi_{t\theta}$ и $\xi_{t\psi}$.